

## بررسی فراساختاری تغییرات هیستوپاتولوژی در نخاع گردنی

### موش صحرایی پس از پرتوگیری

دکتر علیرضا شیرازی\*، دکتر سیدربیع مهدوی\*، دکتر باقر مینایی\*\*، دکتر ابراهیم عزیزی\*\*\*، دکتر کاملیا مرادیان\*\*\*، دکتر

علیرضا نیکوفر\*\*\*\*

\* گروه فیزیک پزشکی

\*\* گروه بافت‌شناسی، دانشگاه علوم پزشکی تهران

\*\*\* گروه داروشناسی و سم‌شناسی، دانشکده داروسازی، دانشگاه علوم پزشکی تهران

\*\*\*\* بخش پرتودرمانی، دانشگاه علوم پزشکی ایران

### چکیده

**مقدمه:** میلوپاتی تابشی از عوارض جدی و تقریباً شایع در پرتودرمانی نخاع بشمار میرود. مطالعات اخیر نقش عروق و تغییر در پروفایل ترشحی آنها را در پاتوژنز آن مطرح می‌کنند. این مطالعه به بررسی تغییرات هیستوپاتولوژی نخاع گردنی پرتودیده برای درک عمیق تر میلوپاتی تابشی می‌پردازد.

**مواد و روش‌ها:** پرتودهی نخاع گردنی ۱۱۰ رت نر هم سن وهم نژاد با پرتو ایکس ۲۰۰keV در فاصله ۲۵ سانتی متری از چشمه انجام شد. در هر گروه دز ۲، ۴، ۶، ۱۵، ۳۰، ۲۵ و ۳۵ گری پنج رت قرار داشت. گروه پرتودیده و کنترل در زمانهای ۲۴ ساعت، ۲ و ۱۳ هفته و گروه منفرد ۳۵ گری در ۱۷ هفته بعد از پرتودهی اتوپسی شدند. نمونه‌ها جهت مطالعه هیستوپاتولوژیک با میکروسکپ نوری و الکترونی آماده شدند. مقایسه پارامترهای آماری بین دو گروه پرتودیده و کنترل انجام گرفت.

**یافته‌ها:** تغییرات بافتی بصورت غلاف میلین اگزوستنر، انفیلتراسیون سلولهای خونی و نکروز ماده سفید نخاع در دزهای بالا و تغییرات عروقی بصورت پارگی و تخریب سلولهای اندوتلیال مشاهده گردید.

**نتیجه‌گیری و توصیه‌ها:** تغییرات ساختمانی بافت عروقی و بافت نورگلی بیان کننده اثرات دزهای ۲-۳۰ گرمی می‌باشد. در واقع پرتوبا دز پایین می‌تواند در دراز مدت آسیب رسان باشد. بدلیل متعدد بودن عوامل دخالت کننده انجام تحقیقات دراز مدت ملکولی توصیه می‌شود.

**کلمات کلیدی:** پرتودرمانی نخاع، میلوپاتی تابشی، نخاع گردن، تغییرات بافت عروقی، تغییرات ماده سفید نخاع

### مقدمه

خارجی روی طناب نخاعی، متاسازهای داخل نخاعی یا مسمومیت ناشی از پرتو درمانی به تنهایی و یا همراه با استفاده از سایر روشهای درمانی باشد. میلوپاتی تابشی در بین بیماران تحت درمان با پرتو (رادیوتراپی) موضوع تحقیقات وسیعی در کلینیک و مطالعات رادیوبیولوژیک می‌باشد. تشخیص آن

میلوپاتی از عوارض جدی و تقریباً شایع سرطان و درمان سرطان بشمار می‌رود. علت بروز آن ممکن است فشارهای



هفته بعد از پرتو دهی) است تا شاید بتواند کمکی در درک عمیق تر مکانیسم میلوپاتی تابشی باشد.

ممکن است تنها از طریق علائم شکل گرفته امکا پذیر نباشد. بنابراین بنظر میرسد که هنوز تا درک مکانیسم واقعی ایجاد آن راه زیادی در پیش است (۴-۱).

جدول ۱- بعضی از تغییرات نخاع بدلیل میلوپاتی تابشی

تغییرات عروقی	صدمات ماده سفید
التهاب و فیروز اطراف عروقی	دمیلینه شدن
التهاب رگ	دمیلینه شدن
ترومبوز	گلیوزیس
خونریزی	نکروزیس
انقلتراسیون سلولهای خونی	

## مواد و روشها

### حیوان و نحوه پرتو دهی

از موش صحرایی (رت) نر از نژاد Wistar با وزن تقریبی ۲۰۰-۱۵۰ گرم در این پروژه استفاده شد. جهت پرتو دهی نخاع گردنی رت، ابتدا نگهدارنده مخصوصی برای ثابت کردن طراحی و ساخته شد و بعد از چندین بار سعی و خطا، بهترین آن انتخاب شد.

حیوانات تحت بیهوشی خفیفی با تزریق داخل حفره شکمی (IP) هیدروکلرید کتامین به میزان ۲۵ mg/kg مورد تابش قرار گرفتند. نواحی خارج از میدان پرتو اصلی یعنی سر و قسمتهای تحتانی بدن حیوان نیز با ورق سربی و حفاظ از جنس سروبند (Cerrobend) مورد حفاظت در برابر پرتو قرار گرفتند. پس از تعیین ناحیه تابش نخاع گردن بین مهره های C1- T2، پرتو دهی با ماشین پرتو درمانی مولد پرتو ایکس با انرژی ماکزیم ۲۰۰ keV و لایه نیم جذب معادل ۱٫۵ میلیمتر مس و در فاصله کانون تا پوست (FSD) معادل ۲۵ سانتی انجام شد. آهنگ دز جذبی در نخاع ۱۵۳/۲۶ سانتی گری در دقیقه از طریق دزیمتری بدست آمد. دزهای مورد نظر در این بررسی عبارت بودند از ۲، ۴، ۶، ۱۵، ۲۵، ۳۰ و ۳۵ گری که توسط یک لوکالیزاتور به ناحیه نخاع گردنی اعمال شدند.

تعداد پنج سر رت هم سن در هر گروه پرتو و گروه کنترل قرار داده شد. بعد از پرتو دهی، حیوانات پرتو دیده و کنترل در زمانهای تعیین شده یعنی ۲۴ ساعت، ۲، ۱۳ و ۱۷ هفته بعد از پرتو دهی اتوپسی شدند. بعد از اتوپسی سریعاً نخاع به دو

منحنی های دز- پاسخ برای درمان ضایعات بدخیم محدودده باریکی را بین دز صد در صد کشنده تومور و ایجاد مسمومیت عصبی در طناب نخاعی بعنوان عارضه بافت نرمال نشان می دهد (۲). تحقیقات مبین آنست که تک دز ۳۵ گری به نخاع می تواند موجب فلج اندام در مدل موش صحرایی در مدت زمان نهفته  $19/0 \pm 0/3$  هفته شود (۵). در پرتو درمانی با رژیم معمول احتمال بروز میلوپاتی بعد از دریافت دز ۶۱-۵۷ گری با تقریب خوبی معادل ۵٪ برآورد گردید. بررسی بیماران مبتلا به میلو پاتی تابشی نشان می دهد که بالاترین حد دز تحمل نخاع هنگامیکه طول نخاع گردنی تحت تابش بیش از ۵ سانتی متر باشد مقدار ۵۰ گری (در ۲۵ جلسه در مدت ۳۵ روز) می باشد. حد دزی که بیشترین کاربرد را دارد و از آن بعنوان دز تحمل نام برده می شود مقدار ۴۰ گری در ۲۵-۲۲ جلسه است. با توجه به این نکات و بدلیل عوارض رنج آور میلوپاتی دز نخاع همواره باید کمتر از حد تحمل آن نگهداشته شود (۱۰-۶).

از نظر رادیو بیولوژیک مدل بقای معمولی خطی- توانی LQ (Linear- Quadratic) قادر به توجیه مناسبی برای منحنی دز- پاسخ بدست آمده از مطالعات انجام شده بر روی نخاع نیست و بنحوی بحث افزایش حساسیت پرتویی مطرح می شود (۱۱، ۱۲). یافته های حاصل از تأثیر پرتو بر طناب نخاعی تا این اواخر تنها بر اساس تغییرات مورفولوژیک ماده سفید نخاع بوده است که شامل درجاتی از دمیلینه شدن، گلیوزیس، نکروزیس ماده سفید، تغییرات عروقی و پاسخ های التهابی می باشد (۱۳). مطالعات اخیر نقش عروق و تغییر در پروفایل ترشحی آنها را در پاتوژنز میلوپاتی تابشی با اولویت بشری مطرح می کند. برطبق فرضیه عروقی قبل از بروز هرگونه تغییری در پارانشیم ماده سفید، تغییرات عروقی روی میدهند که می تواند بدلیل اختلاف در حساسیت پرتویی بین اندوتلیوم عروق و سلولهای گلیال باشد (جدول ۱) (۴). هدف از مطالعه حاضر بررسی تغییرات هیستوپاتولوژی بعد از پرتو دهی نخاع گردنی در کوتاه مدت (۲۴ ساعت، ۲، ۱۳ و ۱۷

گرفتند. مطالعه هیستوپاتولوژیک ۲۴ ساعت بعد از پرتودهی با دزهای ۲، ۴ دیگری هیچگونه تغییرات غیرطبیعی قابل مشاهده با میکروسکپ الکترونی را نشان نداد. در حالیکه پرتو ایکس ۲۰۰ keV با دزهای ۱۵، ۲۵، ۳۰، ۳۵ گری درجات متفاوتی از تغییر در ماده سفید حتی ۲۴ ساعت بعد از پرتودهی را نشان دادند. دمیلینه شدن خفیف، غلاف میلین اکستریک، پر خونی، گشادی عروق و گلیوزیس خفیف معمولاً در بین شاخه‌های قدامی ماده خاکستری از یافته‌های بارز بعد از ۲۴ ساعت پرتودهی بودند. شکل (۱) تغییرات ایجاد شده در پارانشیم ماده سفید و عروق را نشان می‌دهد. منحنی دز- پاسخ بدست آمده بعد از ۲۴ ساعت دارای شیب زیادی است. این منحنی تغییرات بافتی کل (پارانشیم ماده سفید و عروق) بعد از پرتوگیری با دزهای متفاوت را نشان می‌دهد.

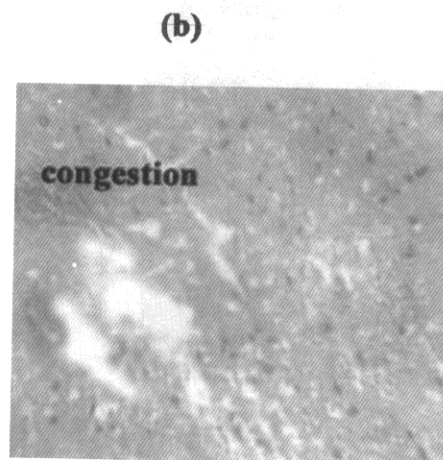
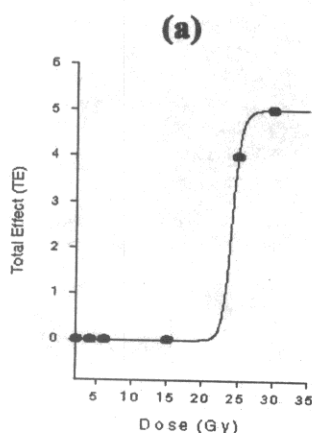
یافته هیستوپاتولوژیک بعد از ۲ هفته پرتودهی تظاهرات مشابهی را با تغییرات بعد از ۲۴ ساعت در سلولهای حمایتی ماده سفید نشان می‌دهد اما تغییرات عروقی اولیه مشاهده شده حتی در دزهای پایین بیشتر بوده و وجود شرایط التهابی را در محیط نشان می‌دهد که با افزایش دز شدت می‌یابد. تغییرات عروقی غالب شامل انفیتراسیون گلبولهای قرمز و سلولهای منونوکلتر، گشادی عروق، پر خونی، خونریزی و ترومبوز بودند (شکل ۲).

قسمت تقسیم می‌شد. دو قسمت از نمونه تهیه شده جهت مطالعات میکروسکوپی و اولترا میکروسکوپی بافتی ارسال می‌شد. مطالعه بافتی با میکروسکپ نوری پس از طی مراحل فیکساسیون در محلول فرمالین به مدت ده روز، قالب گیری در پارافین و در نهایت تهیه برش با میکروتوم و رنگ آمیزی با H&E (Routin Hematoxylin & Eosin) انجام می‌گرفت. برای مطالعه زیرساختاری توسط میکروسکپ الکترونی انتقالی (TEM) ابتدا نخاع پس از لامینکتومی مهره از آن خارج و در محلول فیکساسیون گلو تار آلدئید قرار می‌گرفت. پس از شستشو، قالب گیری و تهیه مقطع نیم نازک انتخاب نمونه صورت می‌گرفت. پس از انتخاب، نمونه مورد نظر با اولترامیکروتوم برش داده و گرید تهیه و سپس رنگ آمیزی با تولوئیدین بلو انجام گرفت.

بدین ترتیب گروههای کنترل هم سن و رتهای پرتو دیده، به منظور مقایسه مقادیر بدست آمده در آزمایشات مختلف جهت مطالعه آماری از بسته نرم افزاری Sigma Plot که براساس SPSS عمل می‌کند استفاده شد.

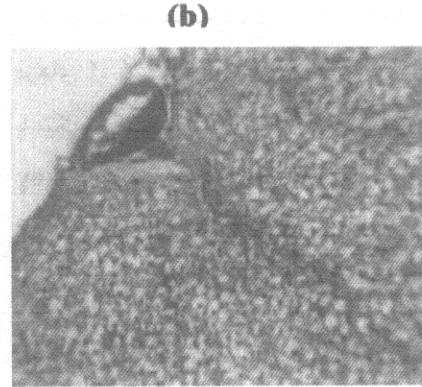
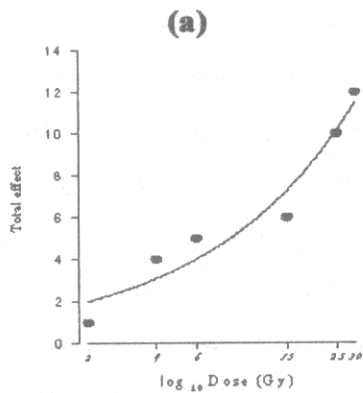
## یافته‌ها

نمونه نخاع از گروههای مختلف جهت مشاهده تغییرات اولیه بافتی همزمان در ماده سفید نخاع مورد بررسی قرار



شکل ۱- منحنی دز- پاسخ تغییرات عروقی و پارانشیمی ماده سفید نخاع (a) و مقطعی از نخاع گردنی پرتو دیده با دز ۲۵ گری ۲۴ ساعت بعد

از پرتوگیری (بزرگنمایی  $\times 100$ ، و رنگ آمیزی H&E) در شکل نشان داده شده اند.



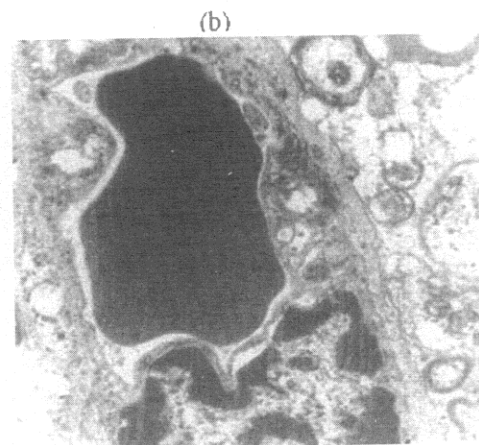
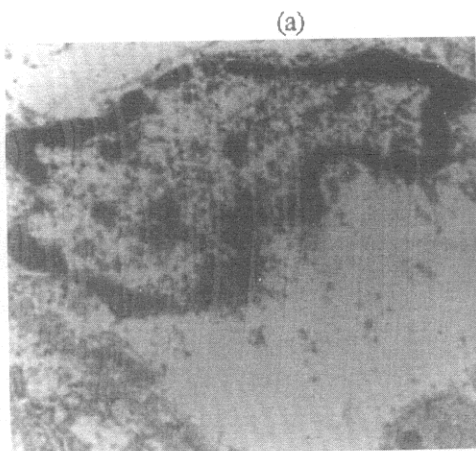
شکل ۲- در این شکل منحنی دز-پاسخ تغییرات ایجاد شده در ماده سفید نخاع (a) و مقطع بدست آمده از ناحیه نخاع گردن و ترومبوز عروقی دیده میشود (بزرگنمایی ۱۰۰x، رنگ آمیزی H&E). این یافته ها مربوط به دزدیافتی ۲۵ گری و ۲ هفته بعد از پرتو دهی می باشد.

مرفولوژیک غشا هسته خود را نشان دادند. در شکل (۳) برخی از این تغییرات نشان داده شد.

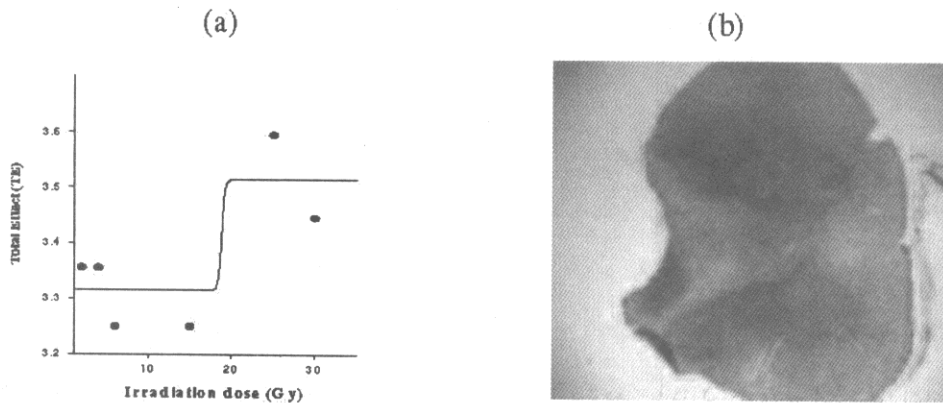
یافته‌های هیستولوژیک ۱۳ هفته بعد از پرتو دهی در دزهای مختلف در مجموع نشاندهنده کاهش ابنرمالیتها در سلولهای نورگلی ماده سفید و همچنین در بستر عروقی درگیری در مقایسه با تغییرات ۲ هفته‌ای می باشد. شکل (۴) بترتیب منحنی دز- پاسخ برای تغییرات کلی هیستولوژیک در نمونه مورد آزمایش و همچنین موردی از تغییرات ناشی از پرولیفراسیون سلولهای نورگلی است که تبدیل به گلیوم شده است.

بترتیب منحنی دز- پاسخ و نمونه ایی از تغییرات بارز عروقی را ۲ هفته پس از پرتو دهی نشان میدهد. در منحنی دز- پاسخ اثر دزهای کوچک بعد از ۲ هفته بارزتر شده است و ظاهراً با افزایش زمان قابلیت تفکیک پاسخهای ناشی از پرتو زیادتر می شود.

یافته‌های زیرساختاری عروق پرتو دیده دو هفته بعد از تابش با دز ۶ گری بارز بوده و اولین تغییرات را در سطح اندوتلیالی نشان دادند. این تغییرات بصورت افزایش تعداد وزیکولهای ترشحی، تخریب دیواره سلول اندوتلیال و تغییر



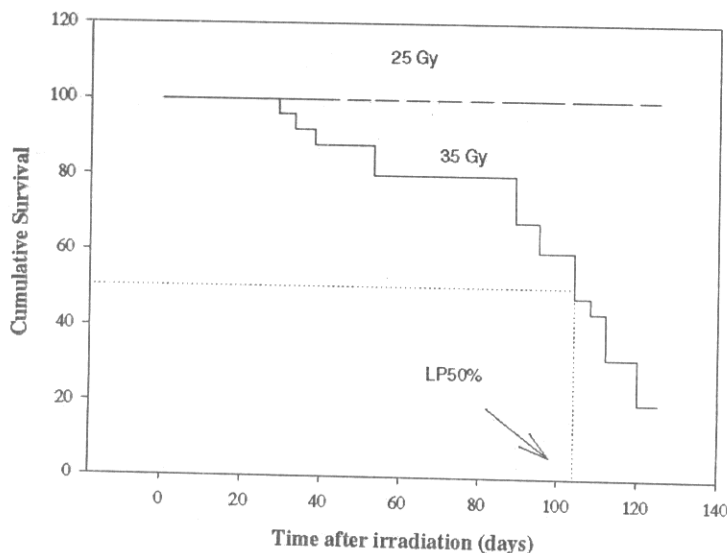
شکل ۳- تصاویر میکروسکپ الکترونی عبوری (TEM) با بزرگنمایی  $12000 \times$  دو هفته بعد از پرتو گیری با دز ۶ گری: جدا شدن دیواره سلول اندوتلیوم (دو نوک فلش) و تخریب غشا سیتوپلاسم (فلش) (a) و ضخیم شدن غشا سلولی (نوک فلش) و تاخوردگی غشا هسته (فلش)



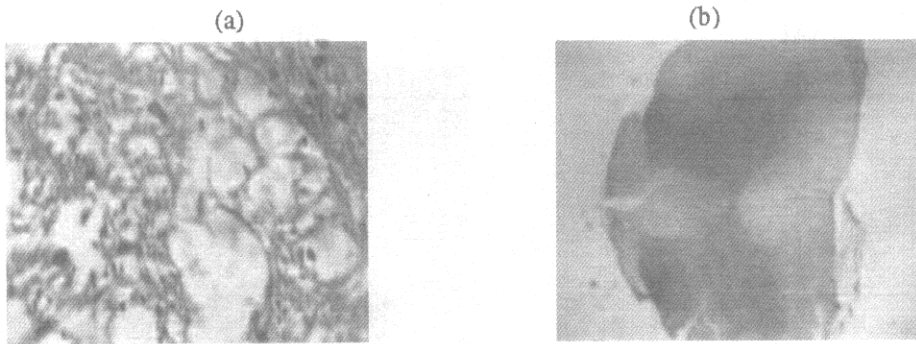
شکل ۴- یافته های مربوط به ۱۳ هفته بعد از زمان پرتودهی در این شکل نشان داده شده اند. منحنی دز-پاسخ تغییرات کل ماده سفید (a) و مقطعی از نخاع گردن رت که نشان دهنده گلیوز (گلیوم) بعد از دریافتی ۱۵ گری با بزرگنمایی  $\times 40$  و رنگ آمیزی H&E (b) می باشد.

در شکل (۵) منحنی بقا برحسب زمان را برای حیوانات مورد آزمایش بعد از دریافت دز منفرد ۳۵ گری نشان داده شد. مطالعه بافت شناسی این گروه از حیوانات بعد از ۱۷ هفته نواحی مذکور دز در ماده سفید نخاع و گلیوز شدید (گلیوم) همراه با دمیلینه شدن اکسونهای عصبی را نشان داد. تغییرات عروقی نیز شامل پارگی، چین خوردگی و تشکیل ترومبوز واضح همراه با التهاب شدید و اتفیلتراسیون سلولهای منونوکلتر و کاهش دانسیته عروقی در ماده سفید بطور بارز مشخص بودند. شکل (۶) تغییرات نکروتیک و گلیوز شدید منجر به گلیوم را در مقطعی از نخاع حیوان پرتودیده با دز ۳۵ گری نشان می دهد.

هیچیک از حیوانات تحت تابش با دزهای ۲ و ۴ و ۶ و ۱۰ و ۲۰ و ۳۰ گری تظاهرات بالینی بارز میلوپاتی را در کوتاه مدت نشان ندادند. اما تمام گروههایی که دز بالاتر از ۱۵ گری دریافت داشتند بطور مشخص نسبت وزنی آنها کمتر از گروه کنترل بود. یک گروه از حیوانات تحت تابش تک دز ۳۰ گری قرار داده شدند. تمام این گروه علائم واضح میلوپاتی را نشان دادند و قبل از مردن جهت انجام آزمایشات اتوپسی شدند. آخرین مورد مرگ حیوانات این گروه در ۱۷ هفته پس از پرتودهی با دز ۳۵ گری بود. علائم میلوپاتی در این گروه حیوانات عبارت بودند از کاهش شدید وزن، عدم کنترل ادرار، گوژپستی و بروز فلجی خفیف تا شدید پاهای عقب و جلو.



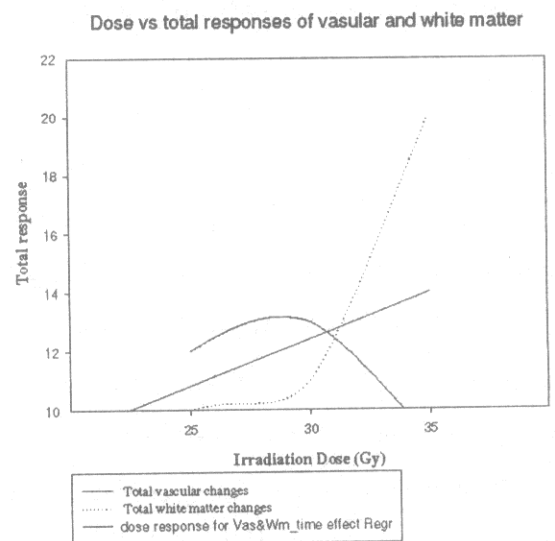
شکل ۵- نمودار تجمعی بقا برحسب زمان در طول زمانی کوتاه مدت این بررسی.



شکل ۶- مقطع ماده سفید نخاع شامل رشته های عصبی ۱۷ هفته بعد از پرتودهی با دز ۳۵ گری در این شکل نشان داده شده اند که شامل غلاف میلین نامنظم و ناحیه نکروز (a) دمیلیناسیون (۴۰۰ X) و (b) گلیوم (۴۰ X) با رنگ آمیزی H&E است.

دفاعی و عناصر موجود در خون به ناحیه صدمه دیده میشود. این فرآیند موسوم به التهاب حاد بوده و تا زمانی وجود دارد که صدمه ادامه داشته باشد. بیشتر علائم ناشی از مسمومیت با پرتو در نخاع انسان به نوروپاتی (Neuropathies) و پلکسوپاتی (Plexopathy) مربوط میشود. پارستزی حاد (Acute Paresthesia) بیشتر در سندرمهای حاصل از مسمومیت سیستم عصبی محیطی وجود دارد. سندرمهای اولیه- تأخیری (یعنی از چند هفته تا چند ماه بعد از دزهای درمانی) در بردارنده پلکسوپاتی هستند که می‌تواند دردناک بوده و منجر به ضعف و آتروفی شود. مطالعات نشان می‌دهند که میلوپاتی تابشی و گذرای وابسته به دز ابتدا در نواحی نخاعی گردنی و پشتی رخ میدهد و این نوع میلوپاتی اولیه تأخیری همراه با علامت لریمیت (L' hermitte's sign) است که سندرم شایع در بیماران تحت درمان ضایعات نخاعی بشمار می‌رود. پاتوژنز احتمالی این سندرم از بین رفتن میلین در ستون خلفی نخاع است که گذرا می‌باشد. بهبود اینگونه بیماران در مدت چند ماه تا یکسال مشاهده شده است هرچند که پاتوفیزیولوژی آن هنوز مشخص نیست. اثرات دیررس میلوپاتی تابشی گرچه نادر هستند اما می‌توانند شدیدتر بوده و عامل تهدید کننده زندگی باشند. پاتوژنز سمپتومهای تأخیری روشن نبوده اما مطالعات تجربی بیشتر بر تغییرات عروقی (Vasculopathies) ناشی از پرتو بعنوان عامل اولیه دلالت دارند (۲،۶،۱۴).

در این پروژه ما سعی کردیم تغییرات هیستوپاتولوژیک ناشی از مسمومیت پرتویی در نخاع رت و تعیین تغییرات



شکل ۷- ارتباط بین تغییرات تغییرات عروقی و تغییرات ساختار پارانشیمی در ماده سفید در این شکل نشان داده شد.

جدول (۱) خلاصه‌ای از تغییرات بافتی مشاهده شده در این پژوهش را نشان میدهد. این تغییرات در سطح بافت عروقی شامل التهاب و فیروز اطراف عروقی، التهاب رگ، ترومبوز خونریزی و همچنین تغییرات ماده سفید نخاع می‌باشند.

## بحث

میلوپاتی تابش را می‌توان صدمه پارانشیمی طناب نخاعی بدلیل اثرات زیر ساختاری پرتوهای یونیزان الکترومغناطیس یا ذره‌ای دانست. تغییرات تخریبی در ماده سفید و بافت عروقی حمایت کننده آن ابعاد هیستوپاتولوژیک اصلی میلوپاتی بشمار می‌روند. *Archive of SID* صدمه به بافت زنده منجر به فرآیند هجوم سلولهای

میلوپاتی تابشی نکروتیک در ۱۷ هفته بعد از تابش با پرتوهای متفاوت دلالت بر اهمیت نقش دو فاکتور (Relative RBE و Biological Effectiveness و Linear Energy Transfer) پرتوهای مورد استفاده در بروز این عارضه دارد. دز ۲۰ گری از پرتو یونی کربن می‌تواند منجر به میلوپاتی تابش ۱۷ هفته بعد از پرتودهی نخاع پشتی در رت شود (۴). بروز این عارضه با پرتو ایکس ۲۰۰ keV در همین مدت نیاز به دز ۳۵ گری دارد. همانطور که در شکل ۷ آنالیز Kaplan-Meier در مدت زمان این بررسی کوتاه مدت نشان می‌دهد، مدت زمان نهفته (LP 50%) برای اینکه ۵۰٪ جمعیت حیوانات بدلیل مسمومیت تابشی از بین بروند ۱۰۵ روز تعیین گردید که قابل مقایسه با گزارشات موجود می‌باشد (۴، ۱۹).

بررسی کوتاه مدت حاضر تاکید بیشتری بر احتمال دخالت واسطه‌های بیوشیمیایی در بروز میلوپاتی تابشی دارد. افزایش حساسیت در دز پایین که ممکن است بر پاسخ دیررس پارانتیم ماده سفید تاثیرگذار باشد می‌تواند اولین قدم به سمت توجیه اختلاف رفتار دوگانه نسبت  $\alpha/\beta$  در مدل LQ منحنی بقا باشد (۱۱، ۱۶). در بسیاری از ارگانها از عملکرد سلولهای اندوتیال بعنوان هدف بحرانی در مقابل پرتو نامبرده می‌شود این نظریه ممکن است در مورد پاتوژنز میلوپاتی تابشی نیز مطرح باشد. مدولاسیون بیان ژنی تحریک کننده‌های بیوشیمیایی نظیر پروستاگلاندین‌ها ممکن است منجر به افزایش استعداد آنها به تشکیل ترومبوز بصورت In vivo و تغییرات بافتی شود (۱۷، ۱۸). علیرغم تجربیات انجام شده در شناخت مکانیسم میلوپاتی تابشی از آنجاکه ایجاد این ضایعه بصورت In vivo بوده و به عوامل متعددی بستگی دارد لزوم انجام تحقیقات دراز مدت احساس می‌شود.

### تقدیر و تشکر

این تحقیق در دانشگاه علوم پزشکی تهران و با حمایت مالی معاونت محترم پژوهشی دانشگاه انجام شده است که در همین جا از آن معاونت قدردانی می‌شود. همچنین از مرکز پرتو درمانی انستیتوکانسر مجتمع بیمارستان امام خمینی (ره) به جهت در اختیار گذاردن امکانات سپاسگزاری می‌گردد.

اولیه و اولیه تاخیری زیر ساختاری در مسیر درک مکانیسم میلوپاتی تابشی گام برداریم. به منظور نمایش ارتباط احتمالی بین تغییرات اولیه عروقی و تغییر اولیه در ماده سفید، اطلاعات بدست آمده از منحنی‌های دز- پاسخ آنها در یک نمودار گردآوری شدند. شکل (۷) تغییرات هیستوپاتولوژیک اولیه را برای عروق و ماده سفید با دز صرف نظر از مدت زمان سپری شده از پرتودهی نشان می‌دهد. همانطور که دیده می‌شود اثر مسمومیت دزهای پایین پرتو بر عروق بیشتر از اثر آن بر پارانتیم ماده سفید است. به این معنی که پاسخ پارانشیمی در دزهای بالاتر مشهور می‌شود و بنظر می‌رسد که در دزها بالا پرتو بصورت انتخابی عمل کرده و عناصر پارانشیمی را بیشتر متاثر می‌کند. این تغییرات با ضریب ۰/۶۷۱۸ در حد اعتماد ۹۵٪ با یکدیگر مرتبط هستند که می‌تواند تائیدکننده اثر دزهای پائین بر سیستم عروقی و دزهای بالا بر ماده سفید باشد.

از نظر پاتولوژیک مکانیسم دوگانه ای برای میلوپاتی بسته به اینکه هدف اصلی سلولهای حمایتی (تئوری گلیال) یا اندوتلیوم عروق فرض شوند مطرح می‌باشد. ضمن اینکه گزارشاتی دال بر حساسیت پرتویی متفاوت بافت عروقی نسبت به پارانشیم ماده سفید نیز وجود دارد (۴). بررسی فرا ساختاری (Ultrastructural) اندوتلیوم بطور واضح بیانگر تغییر در غشاء سلولی و افزایش تعداد وزیکولهای ترشحی می‌باشد. اثر حاد پرتو در سلولهای اندوتلیال شامل تخریب دیواره سلولی چین خوردگی هسته، ضخیم شدن غشاء پایه و جدا شدن اندوتلیوم از دیواره عروق حتی در دزهای ۶ گری بعد از ۲۴ ساعت بطور واضح آشکار شده‌اند (شکل ۳). این یافته دلالت بر این دارد که تغییرات اولیه حتی در دزهای پایین می‌تواند بدنبال تغییر فرا ساختاری باشد که در پاسخ به عامل التهاب زای خارجی ایجاد می‌شود. در مطالعه مشابهی بصورت In-vitro نشان داده شد که تغییر در اندوتلیال می‌تواند قبل از بروز تغییرات پارانشیمی و نکروز در ماده سفید رخ دهد (۱۳). تغییرات اولیه در اولیگوندروسیت‌ها همراه با نامنظمی در غلاف میلین از دیگر یافته‌های این بررسی بودند که قبلا بعنوان پاسخهای دیررس ویا ثانویه مطرح می‌شدند. سلولهای میکروگلیا در سیستم عصبی مرکزی (CNS) به منزله سیستم فاگوسیت- منوکلتر هستند (۶). مقایسه جنبه رادیوبیولوژیک

## منابع

1. Grosu AL, Andratschke N, Nieder C, et al. Retreatment of the spinal cord with palliative radiotherapy. *Int. J. Radiat Oncol Biol Phys* 2002;52:1288-1292.
2. Liang BC. Radiation-associated neurotoxicity. *Hospital Physician* 1999;April:54-58.
3. Schultheiss TE, Stephens LC. Invited review: Permanent radiation myelopathy. *The British Journal of Radiology* 1992;65:737-753.
4. Shinobu O, and Okeda R. Review article: Pathology of radiation myelopathy. 2001;21:247-265.
5. Morris GM, Coderre JA, Whitehouse EM, et al. Boron neutron capture therapy: a guide to the understanding of the pathogenesis of late radiation damage to the rat spinal cord. *Int J radiat Oncol Biol Phys* 1994;28:1107-1112.
6. Schulteiss TE, Kun LE, Ang KK, et al. Radiation response of the central nervous system. *Int J Radiat Oncol Biol Phys* 1995;31:1093-1112.
7. Bijl PH, Van Lujik P, Coppes RP, et al. Dose-volume effects in the rat cervical spinal cord after proton irradiation. *Int J Radiat Oncol Biol Phys* 2002;52:205-211.
8. Fowler JF, Bentzen SM, Bond SJ, et al. Clinical radiation doses for spinal cord: the international questionnaire. *Radiotherapy & Oncology* 2000; 55:295-300.
9. Hopewell JW, Trott KR. Volume effects in radiobiology as applied to radiotherapy. *Radiotherapy & Oncology* 2000;56:283-288.
10. Brahme A, Nilsson J, and Belkic D. Original article: Biologically optimized radiation therapy. *Acta Oncologica* 2001;40:725-734.
11. Wong CS, Hao Y, and Hill PR. Response of rat spinal cord to very small doses per fraction: lack of enhanced radiosensitivity. *Radiotherapy & Oncology* 1995;36:44-49.
12. Wong CS, and Hao Y. Long-term recovery kinetics of radiation damage in rat spinal cord. *Int J Radiat Oncol Biol Phys* 1997;37:171-179.
13. Siegal T, and Pfeffer MR. Radiation-induced changes in the profile of spinal cord serotonin, prostaglandin synthesis, and vascular permeability. *Int J Radiat Oncol Biol Phys* 1995;31:57-64.
14. Estrada-Garcia L, Carrera-Rotllan J, and Puigparellada P. Effects of oxidative stress and antioxidant treatments on eicosanoid synthesis and lipid peroxidation in long term human umbilical vein endothelial cells culture. *Prostaglandins & other lipid mediators* 2002;67:13-25.
15. Menedez JC, Casanova D, Amado JA, et al. Effects of radiation on endothelial function. *Int J Radiat Oncol Biol Phys* 1998;41:905-913.
16. Nieder C, Nestle U, Walter K, et al. Dose/effect relationships for brain metastase. *J Cancer Res Clin Oncol* 1998;124:346-350.
17. Kawamura T, Akira T, Watanabe M, et al. Prostaglandin E1 prevents apoptic cell death in superficial dorsal horn of Rat spinal cord. *Neuropharmacology* 1997;36:1023-1030.
18. Roman DD, Sperduto W. Neuropsychological effects of cranial radiation: current knowledge and future directions. *Int J Radiat Oncol Biol Phys* 1995;31:983-998.
19. Okada S, Okeda R, Matsushita S and Kawano A. Histopathological and morphometric study of the late effects of heavy-ion irradiation on the spinal cord of the rat. *Radiat Res* 1998; 150: 299-304.